

## 盛土荷重による軟弱地盤の沈下性状に関する事例研究

宮崎大学工学部 正員 藤本廣、同 横田漠  
同 学生・三浦廣宣、同 横山政道

## 1. まえがき

軟弱地盤上に5年前に築造されたある道路盛土の沈下現象を対象として、その沈下が單純に基盤盤の圧密によるものであるか、あるいはまた側方へのクリープ変位を伴って将来においてクリープ破壊の可能性が存在するか否か、という点に解明の主眼をおいた調査解析結果と、解析の途中であるが事例研究として報告する。なお、本事例研究の手続としては、施工前の圧密試験を含む一般的な土質試験結果と最近3ヶ月間ににおける沈下の観測資料があるだけが、盛土施工後の沈下の継続的観測資料はない。したがって、現在までの総沈下量は推定によらざるを得ないという特殊なケースである。

## 2. 地盤条件と現況

压密沈下の対象となる粘土層は、図-1の上質柱状図に示すように、深度8.6~15.2m(層厚約7.0m)で、地盤改良は行われていない。施工前の土質試験結果によると、粘土層の上下両面排水条件下での90%圧密に要する時間は2268日=6.2年となっており、最終沈下量の予測値は約124cmとなっている。図-1の柱状図は、今回の調査時点のもので、図で盛土底面の深度が4.70mとなっているのは、図-2の盛土断面に示したように、ボーリングサイト(B.S.)が地盤面(4.5)上2.0mの盛土法面にあるためで、これより、 $4.70 - 2.0 = 2.70$ m程度、盛土柱が地盤中に埋没していることが分かる。しかし、この2.70mがすべて沈下によるものと判断し得る資料はない。

この道路盛土は、昭和53年4月完工時点から沈下が継続し、上記のように沈下の観測は行われておらず、沈下に応じて路面をオーバーレイして現在に至っている。したがって、現在までの沈下量の推測値は、上記盛土底面の深度を考慮すれば、少なくとも1.0~2.0mに達するものとみて差支えはあるまい。

沈下の定量的観測が行われたのは昭和58年8月から10月にかけての3ヶ月であるが、その間の最大沈下量は約2.0cmである。これは月平均にして約0.7cmの沈下である。

図-2に示した盛土断面でa~b部は盛土完工直後に地盤面に盛下され、これが見られたために抑え盛土として施工された部分である。現在、周辺の地盤には変状は見られない。

## 3. 調査・解析方法

解析の主眼を、①今回調査時点における圧密度の確認、②基盤地盤におけるせん断クリープ破壊の可能性の有無の検討、の2点にいたため、図-1に示した深度から不擾乱試料(No.1-a, No.1-b, No.1-c)を採取し、物理試験、標準圧密試験、改良型一面せん断試験機による排水せん断試験及び排水せん断クリープ試験を行った。クリープ破壊の可能性の有無の検討は、クリープ試験によって求めた粘土の上限降伏値と地盤中の

標高	層厚	記号	地盤	土質	記号
4.70		X		盛土	2.70
5.50	0.80		●	中砂	
5.60	0.30		●	中砂	
6.60	0.20		●	細砂	
8.20	1.10		"	細砂	
8.60	0.60		"	細砂	
				地盤	3.24

図-1. 土質柱状図

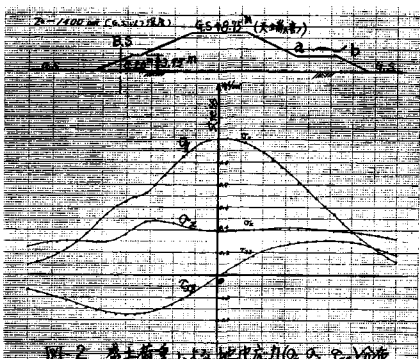


図-2 盛土質量・地盤改良材(No.1-a, b)分布

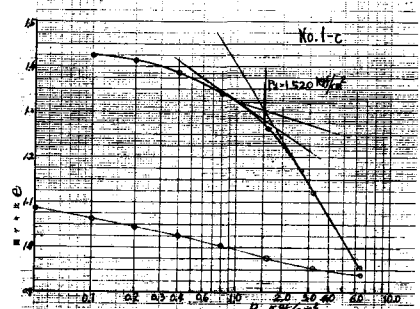


図-3. 土質比-圧密荷重曲線の一例

最大せん断応力と比較する方法によつた。

#### 4. 土質試験結果の考察と解析結果

考察対象の試料土は、解析の目的から深度を考慮して試料No.1-bとNo.1-cとに限った。

(1)物理的性質の特性：試料No.1-cはNo.1-bに比較して、粘土分が約10%多く、L.L.が約5%高くP.I.も4%程大きくなっている。W<sub>s</sub>、S<sub>r</sub>共にほとんど同一であるが、No.1-cはNo.1-bよりも孔隙比が僅かに大きく、しかもそれに応じてやゝ小さくなっている。これは、No.1-cの下位の砂層で排水層となつたためにNo.1-bより盛土荷重による圧密が先行していることを示していくと考へて差支えあるまい。

(2)圧密性状：図-2は盛土荷重による地中応力(O<sub>z</sub>、O<sub>x</sub>及びC<sub>o</sub>)分布をシネスクリ式で求めたものである。図-3はNo.1-cのe- $\log P$ 曲線である。No.1-bの圧密降伏応力はP<sub>y</sub>=9.80%でNo.1-cのP<sub>y</sub>は15.20%であった。図-4に試験地点における地盤中の有効土被り圧P<sub>e</sub>の分布と降の値をプロットした。これより、No.1-bは盛土荷重による圧密が進行中、No.1-cは正規圧密粘土となり、さらに、盛土施工前における調査で80%圧密に要する時間が約6年となつたことを考慮すると、施工後4年経過している現時点においては、この粘土層は盛土荷重によって大略70%程圧密が進行しているとみて差支えないようである。

(3)せん断特性とクリープ特性及びクリープ破壊発生の可能性の有無：表-2にせん断試験結果を示す。両試料の厚さを考慮して夫々の正規圧密領域と過正密領域における強度定数を比較すると、C<sub>d</sub>は両試料共等しく、中は正規圧密領域では大差ないが過正密領域でNo.1-cがNo.1-bより約5%程大きくなっている。

図-5と図-6はクリープ試験結果を示したもので、上限降伏値は<sup>1)</sup>、No.1-bでC<sub>u</sub>=0.374%、No.1-cでC<sub>u</sub>=0.468%が求められた。いずれもピーク強度の約75%の値である。

図-7は、盛土荷重による最大せん断応力C<sub>max</sub>の分布を示したもので、図-2の応力分布から最大・最小主応力を算定し、 $C_{max} = (C_1 - C_2)/2$ で計算したものである。これよりC<sub>max</sub>の最大値は、深度2.0mで約0.370%、深度14.0mで約0.400%となっており、いずれも、C<sub>u</sub>以下の値である。したがってクリープ破壊の可能性は無ないとみて差支えあるまい。

#### 5. むすび

以上により、当該粘土層は圧密度70%程度の段階にあることが確認され、クリープ破壊が起る可能性は無ないと結論された。終りに、試料のサンプリングは(株)国土開発コンサルトによつた。付記して謝意を表す。

参考文献①藤本他2名：過正密粘土の強度とせん断特性、第19回土質工学研究発表会講演集、(昭和57年6月)、2-1, pp.425

表-1 試料上の物理的性質

試料番号	No.1-b	No.1-c
深度	11.50~12.85	14.00~16.65
粒度		
上部分%	0	0
砂分%	0.80	0.50
シルト分%	52.20	42.00
粘土分%	47.00	57.50
W <sub>s</sub> %	60.2	65.7
W <sub>p</sub> %	26.8	28.4
I <sub>P</sub>	33.4	37.3
日本統一液塑限(C.H.)	(C.H.)	
G <sub>s</sub>	2.70	2.70
自然状態		
含水率%	52.3	52.4
孔隙比	1.617	1.662
C	1.463	1.465
S <sub>r</sub> %	96.6	96.7

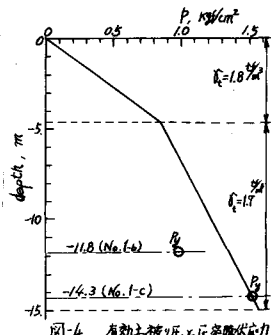


表-2 改良型一面せん断試験結果

試料	1-b	1-c
O <sub>r</sub> , %/cm <sup>2</sup>	0.25 0.50 1.00 1.50 2.00 0.25 0.50 1.00 1.50 2.00	
C <sub>d</sub> , %/cm <sup>2</sup>	0.291 0.357 0.502 0.722 1.154 0.351 0.461 0.629 0.801 1.043	
S <sub>r</sub> , mm	1.25 1.50 3.00 5.50 5.50 1.25 1.75 3.50 5.00 6.00	
C <sub>d</sub> , %/cm <sup>2</sup>	0.250 0.250	0.250 0.250
φ <sub>a</sub> , °	27.4 27.7	27.4 27.7
φ <sub>r</sub> , °	12.9 20.4	12.9 20.4

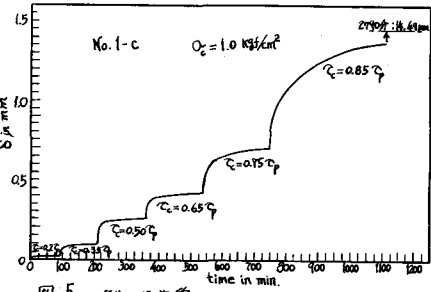


図-5. クリープ曲線

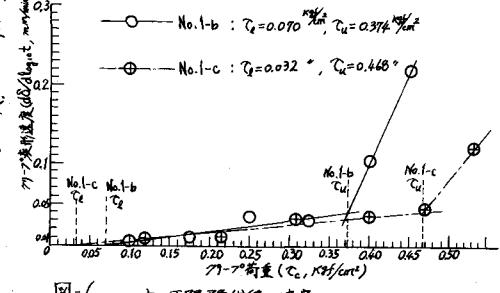


図-6. 上・下限降伏値の決定

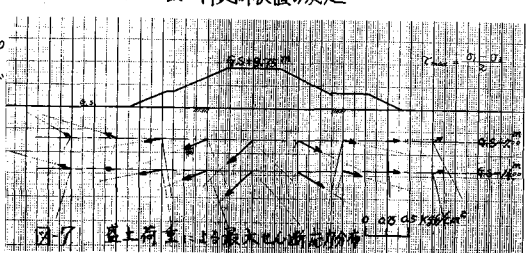


図-7 盛土荷重による最大せん断応力